

На правах рукописи

**Пивоваров Дмитрий Евгеньевич**

**ПОРОГ УСТОЙЧИВОСТИ И ТРЕХМЕРНЫЕ СТРУКТУРЫ  
КОНВЕКЦИИ В ЗАМКНУТЫХ НАКЛОННЫХ  
ПРЯМОУГОЛЬНЫХ ОБЪЕМАХ**

Специальность 01.02.05 – механика жидкости, газа и плазмы

**АВТОРЕФЕРАТ**

диссертации на соискание ученой степени  
кандидата физико-математических наук

Москва – 2013 г.

Работа выполнена в Федеральном государственном бюджетном учреждении науки Институте проблем механики им. А.Ю. Ишлинского Российской академии наук (ИПМех РАН).

Научный руководитель: доктор физико-математических наук,  
профессор В.И. Полежаев

Официальные оппоненты: доктор физико-математических наук  
А.В. Гетлинг  
кандидат физико-математических наук  
М.К. Ермаков

Ведущая организация: Научно-исследовательский институт механики МГУ им. М.В. Ломоносова, г. Москва

Защита состоится 24 октября 2013 года в 15 часов на заседании диссертационного совета Д 002.240.01 при ИПМех РАН по адресу: 119526, г. Москва, проспект Вернадского, д. 101, корп. 1, ИПМех РАН.

С диссертацией можно ознакомиться в библиотеке ИПМех РАН.

Автореферат разослан 23 сентября 2013 года.

Ученый секретарь  
диссертационного совета Д 002.240.01  
кандидат физико-математических наук

Е.Я. Сысоева

# 1. Общая характеристика работы

**Актуальность темы.** Замкнутые прямоугольные объемы являются составными элементами большого количества технических устройств и конструктивных элементов. Их ориентация может быть произвольно задана согласно техническим требованиям (изоляционные прослойки, стеклопакеты) или может выбираться из расчета оптимальных параметров теплообмена (солнечные коллекторы). В теплопроводной жидкости, заполняющей объем, в зависимости от условий теплоотдачи на ограничивающих поверхностях возникают естественно-конвективные течения. Рассмотренный частный случай разной температуры двух противоположных сторон прямоугольного объема является обобщением классических задач о конвекции между двумя горизонтальными или вертикальными параллельными плоскостями, нагретыми до различной температуры.

Эти задачи представляют собой два разных типичных случая тепловой гравитационной конвекции, в настоящее время хорошо изученных. Они имеют свою специфику и отличаются по структуре. В горизонтальном слое возможно состояние механического равновесия, даже если нижняя граница более нагрета, чем верхняя. При определенном «пороговом» значении температурного градиента в результате потери устойчивости возникает циркуляционное движение в виде ячеек Бенара. В вертикальном слое любая малая температурная неоднородность ведет к развитию крупномасштабного движения, а неустойчивость носит «гидродинамический» характер.

При произвольной ориентации области происходит взаимодействие рассмотренных типов течения, что порождает многообразие режимов конвективного теплообмена [14]. Актуальность задачи о структуре и теплопереносе в конвективном течении при различной ориентации области обусловлена рядом технологических проблем, в частности, необходимостью управления характеристиками температурного расслоения и перемешивания [15]. С теоретической точки зрения потеря устойчивости характерного для данной задачи ламинарного подъемно-опускного течения позволяет детально исследовать процесс ламинарно-турбулентного перехода [16].

## **Цели работы:**

- Разработка и реализация алгоритма расчета ламинарного и турбулентного режимов конвекции на базе уравнений Навье-Стокса.
- Исследование тепловых характеристик и структуры течения в замкнутом объеме в случае продольных слоев и обнаружение гистерезиса трехмерных течений при изменении угла наклона.
- Разработка и реализация трехмерного псевдоспектрального метода решения задачи устойчивости конвективного течения в рамках линейной теории.
- Определение порога устойчивости и вторичных структур конвекции в замкнутом объеме и бесконечно длинном канале.

**Научная новизна.** Впервые произведен анализ течения гистерезисного типа на основе решения трехмерных уравнений движения на базе уравнений Навье-Стокса. Впервые произведен расчет на устойчивость трехмерного конвективного движения внутри полностью замкнутой полости на основе псевдоспектрального метода.

**Метод исследования.** Рассматривается движение вязкой несжимаемой жидкости, описываемое системой уравнений Навье-Стокса и уравнения теплопроводности в приближении Буссинеска. Для получения решения используется конечно-разностный метод, а для анализа устойчивости в линейном приближении — псевдоспектральный метод. Расчеты по обоим методам проведены на компьютере.

**Достоверность результатов.** Для количественной оценки результатов решения нелинейных уравнений было произведено сопоставление с данными других авторов на примере задачи о конвекции в кубической полости. Также получено качественное совпадение структуры течения в наклонных слоях с известными экспериментальными наблюдениями. Достоверность расчетов на

устойчивость подтверждена результатами сравнения с аналитическими решениями линейной теории устойчивости. Для численных решений произведено сопоставление с результатами других авторов, использующих отличные методы, а также с экспериментальными работами. Все результаты повторно подтверждены реализованными в работе методами.

**Практическая значимость.** Реализованный алгоритм решения нелинейных уравнений может быть использован для моделирования турбулентных конвективных течений вязкой жидкости. Метод расчета устойчивости течения может быть использован как для определения порога конвективной устойчивости, так и для выяснения характера и вида вторичных структур трехмерного течения, возникающего внутри замкнутого объема, на границах которого задаются граничные условия I, II и III рода.

**Личный вклад автора.** Программы расчета написаны самостоятельно автором. Проведены многопараметрические расчеты с детальным разрешением по углу наклона. Предложена приближенная формула определения основного течения в канале бесконечной длины. Проведен анализ полученных результатов.

**Апробация работы.** Результаты, полученные в диссертации, докладывались на семи международных и российских научных конференциях: на 2-ой всероссийской конференции ученых, молодых специалистов и студентов «Информационные технологии в авиационной и космической технике» (Москва, 2009); на XVII школе-семинаре молодых ученых и специалистов под руководством академика А.И. Леонтьева «Проблемы газодинамики и теплообмена в аэрокосмических технологиях» (Жуковский, 2009); на международной конференции «Авиация и космонавтика» (Москва, 2009,2010); на XVIII школе-семинаре молодых ученых и специалистов под руководством академика А.И. Леонтьева «Проблемы газодинамики и теплообмена в новых энергетических технологиях» (Звенигород, 2011); на международной школе-семинаре «НеЗаТеГиУс» (Звенигород, 2012; работа отмечена грамотой кон-

курса молодых ученых); на VI всероссийском межотраслевом молодежном научно-техническом форуме «Молодежь и будущее авиации и космонавтики» (Москва, 2012; работа отмечена дипломом первой степени).

Работа обсуждалась на семинаре «Тепломассообмен и механика невесомости» ИПМех РАН (2012, 2013; руководители д.ф.-м.н. В.И. Полежаев и д.ф.-м.н. В.В. Сазонов).

**Публикации.** Результаты работы опубликованы в двух журналах из перечня ВАК [1,2], в двух сборниках трудов конференций [3,4], в восьми тезисах конференций [5–12] и препринте ИПМех РАН [13].

**Структура и объем работы.** Диссертация состоит из введения, пяти глав, заключения и списка литературы в количестве 174 наименований. Материал содержит 35 иллюстраций, 7 таблиц и изложен на 110 страницах.

## 2. Содержание работы

Во **введении** представлен подробный обзор отечественных и зарубежных работ по теоретическому, экспериментальному и численному исследованию конвективных течений, возникающих в слоях вязкой жидкости, заполняющей пространство между двумя изотермическими плоскостями. Ориентация плоскостей задается величиной угла наклона нормали к вектору силы тяжести. Показана актуальность решаемой задачи и сформулированы цели работы.

Большая часть теоретических работ посвящена бесконечно протяженным слоям [17, 18], где исследуется устойчивость ламинарного течения с кубическим профилем скорости или течений типа пограничного слоя и устойчивость вторичных течений [19, 20].

Случай замкнутых слоев привлекал большое внимание экспериментаторов, разрабатывающих эффективные солнечные коллекторы [21]. На ограничивающих слой боковых сторонах устанавливали близкие к идеальным условия теплоизоляции или абсолютной теплопроводности. Если при горизонтальном положении короткой грани слоя задавали угол наклона длинной

стороны, то слой называли продольным. В противном случае — поперечным.

Исследованию структуры течения и характеристик теплообмена в продольных слоях посвящены работы лишь по двумерному моделированию, не считая трехмерного решения [22], моделирующего эксперимент [23]. В последнем показано, что продольные слои лучше подавляют конвекцию. Анализ устойчивости продольного слоя произведен только в [24], где основное решение получалось численно из нелинейных уравнений тепловой конвекции.

В **главе 1** дается физико-математическая постановка задачи. Рассматривается движение вязкой несжимаемой жидкости внутри прямоугольного объема размером  $L \times W \times H$ , ограниченного твердыми неподвижными стенками (рис. 1). Две противоположные границы поддерживаются при разных постоянных температурах с разницей  $\Delta T$ . Остальные границы теплоизолированы. В качестве масштабов длины, времени, скорости, температуры и давления приняты соответственно величины  $H$ ,  $H^2/\nu$ ,  $\nu/H$ ,  $\Delta T$ ,  $\rho\nu^2/H^2$ , а уравнения движения несжимаемой теплопроводной жидкости в приближении Буссинеска записываются

$$\frac{\partial \mathbf{u}}{\partial t} + \mathbf{u} \nabla \mathbf{u} = -\nabla p + \nabla^2 \mathbf{u} + \text{Gr} T \boldsymbol{\gamma} \quad (1)$$

$$\frac{\partial T}{\partial t} + \mathbf{u} \nabla T = \frac{\nabla^2 T}{\text{Pr}} \quad (2)$$

$$\text{div } \mathbf{u} = 0, \quad (3)$$

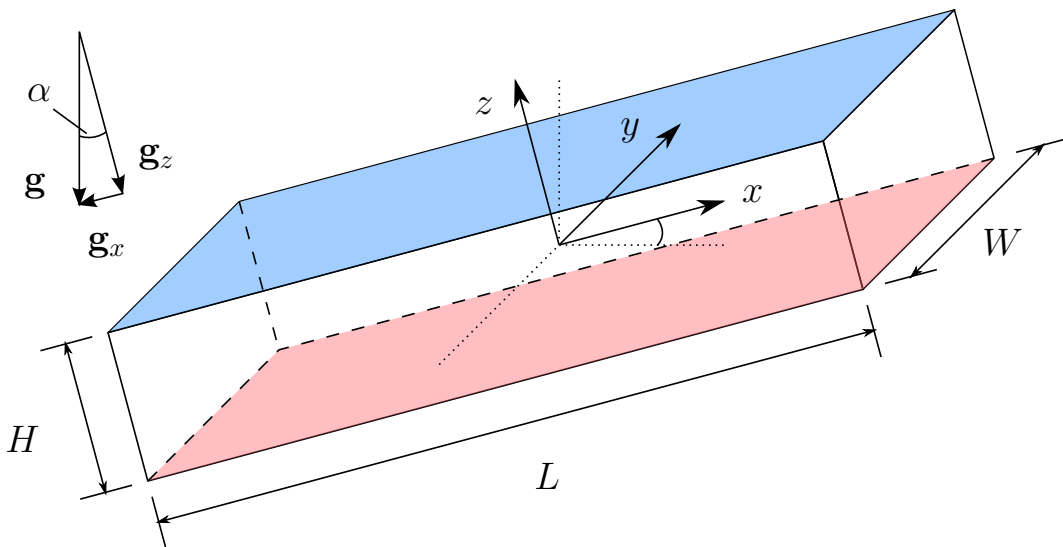


Рис. 1. Геометрия задачи

где  $\mathbf{u}, T, p$  – безразмерные вектор скорости, температура, добавка к гидростатическому давлению;  $\boldsymbol{\gamma} = (\sin \alpha, 0, \cos \alpha)$  – единичный вектор, противоположный силе тяжести;  $\text{Gr} = g\beta\Delta TH^3/\nu^2$  – число Грасгофа;  $\text{Pr} = \nu/\chi$  – число Прандтля;  $\nu, \chi$  – коэффициенты кинематической вязкости и температуропроводности;  $g$  – модуль ускорения силы тяжести;  $\beta$  – коэффициент объемного расширения. Произведение  $\text{Ra} = \text{Gr Pr}$  определяет число Рэлея.

Геометрия области задается двумя параметрами  $A_L = L/H$  и  $A_W = W/H$ . Граничные условия для скорости и температуры принимают вид

$$\mathbf{u}|_{\partial Q} = 0 \quad (4)$$

$$T|_{z=\pm 0.5} = \mp 0.5, \quad \left. \frac{\partial T}{\partial x} \right|_{x=\pm A_L/2} = \left. \frac{\partial T}{\partial y} \right|_{y=\pm A_W/2} = 0 \quad (5)$$

В качестве основной характеристики течения выступает среднее число Нуссельта на горячей стенке

$$\text{Nu} = \frac{1}{A_L A_W} \iint_S \frac{\partial T}{\partial z} dx dy$$

**Глава 2** посвящена описанию конечно-разностного метода решения нелинейных уравнений движения и результатам тестирования вычислительной программы. Используемая ранее для проведения двумерных расчетов [3] программа COMGA [25] заменяется трехмерной программой, реализованной на основе схемы [26]. Ее описание, отличающееся учетом теплопроводности жидкости, дается в **параграфе 2.1**.

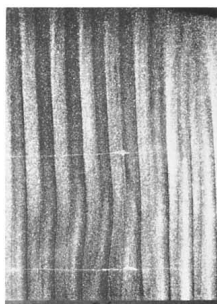
В **разделе 2.1.1** проводится дискретизация задачи. Уравнения движения записываются через скорость и завихренность. Вводятся сеточные функции, определенные на смещенных сетках. В центре расчетных ячеек задаются значения температуры и давления. Значения компонент вектора скорости определяются в центре граней расчетных ячеек по соответствующим направлениям, а компоненты завихренности — в центре ребер, параллельных соответствующим осям. Оператор дифференцирования аппроксимируется центральными разностями, а для вычисления произведений в нелинейных членах используется осреднение по соседним узлам.

Задача для давления формулируется и решается в **разделе 2.1.2**. Проекция уравнения движения с вычисленными нелинейными, вязкими членами и членами с подъемной силой на пространство бездивергентных векторов приводит к постановке задачи Неймана для уравнения Пуассона. Решение задачи осуществляется методом двумерного преобразования Фурье по двум направлениям в сочетании с одномерной прогонкой по третьему направлению. Быстрое преобразование Фурье реализовано с помощью библиотеки FFTW3 [27].

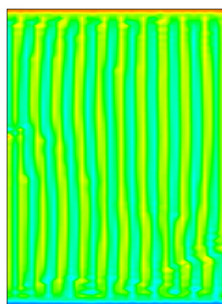
В **разделе 2.1.3** приводится 3-шаговый алгоритм интегрирования по времени. На каждом шаге интегрирования осуществляется расчет нелинейных и конвективных членов, членов с подъемной силой, давления и неявного шага по времени. Неявность задается только относительно вязких членов. Неявный оператор вычисляется по алгоритму приближенной факторизации, после чего применяется метод прогонки по каждому из направлений.

**Раздел 2.1.4** дает описание алгоритма оценки локальной погрешности [28] с учетом дополнительной скалярной величины (температуры).

Тестированию реализованного метода посвящен **раздел 2.2**. Иллюстрируются результаты расчета конвективного течения в наклонных слоях (рис. 2) и дается таблица сравнения результатов, полученных для тестовой задачи о конвекции в кубической полости. Дополнительно осуществлен расчет двумерной турбулентной конвекции для задачи описанной в [29]. Фильм, демонстрирующий результаты расчета настоящим методом и по методу [30], размещен на странице <http://www.ipmnet.ru/~pivovar/film.mp4>.



эксперимент [18]



настоящий расчет

Рис. 2. Вид сверху в плоскости  $xy$  на конвективные валы (изотермы) для  $Pr = 6.7$ ,  $\alpha = 30^\circ$ ,  $A_L = 36$ ,  $A_W = 17$  при  $Ra = 4232$

В главе 3 методом прямого моделирования изучается трехмерная структура конвективного течения и интенсивность теплообмена в воздушной прямоугольной полости с отношениями  $A_L = 4$ ,  $A_W = 0.5$ .

Вычислительный процесс был построен следующим образом. Для фиксированного числа  $Ra$  вычислялось стационарное движение при горизонтальном положении полости. Начальные данные соответствовали положению равновесия. Затем полость ступенчато наклонялась с шагом  $1^\circ$ , и для каждого положения вычислялось стационарное движение из начальных данных, соответствующих полю скорости и температуры, полученных при предыдущем значении угла наклона. Достигнув значения угла  $\alpha = 90^\circ$ , процесс повторялся в обратную сторону из вертикального положения в горизонтальное. Число  $Ra$  охватывало диапазон от  $10^4$  до  $10^5$  с шагом  $10^3$ .

Для всех расчетных данных наблюдалось несовпадение числа конвективных ячеек, полученных в горизонтальной полости из положения равновесия, и при уменьшении угла из вертикального положения (рис. 3). Ранее подоб-

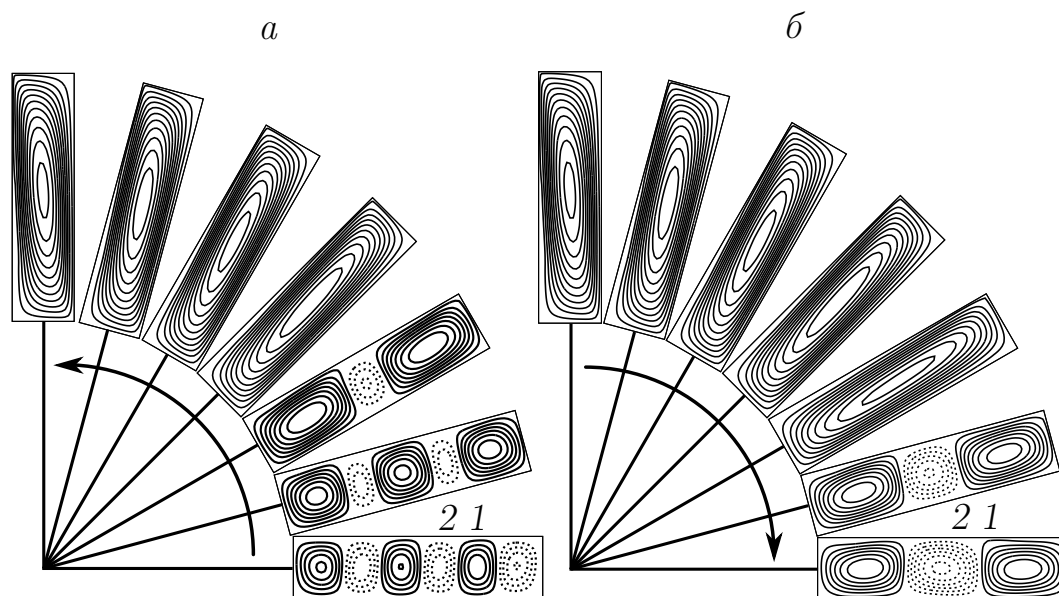


Рис. 3. Изолинии функции тока в плоскости  $y = 0$  при увеличении (а) и уменьшении (б) угла наклона для  $Pr = 0.71$ ,  $Ra = 1.5 \times 10^4$ ; шаг по углу  $15^\circ$ : 1, 2 – положительные и отрицательные значения функции тока

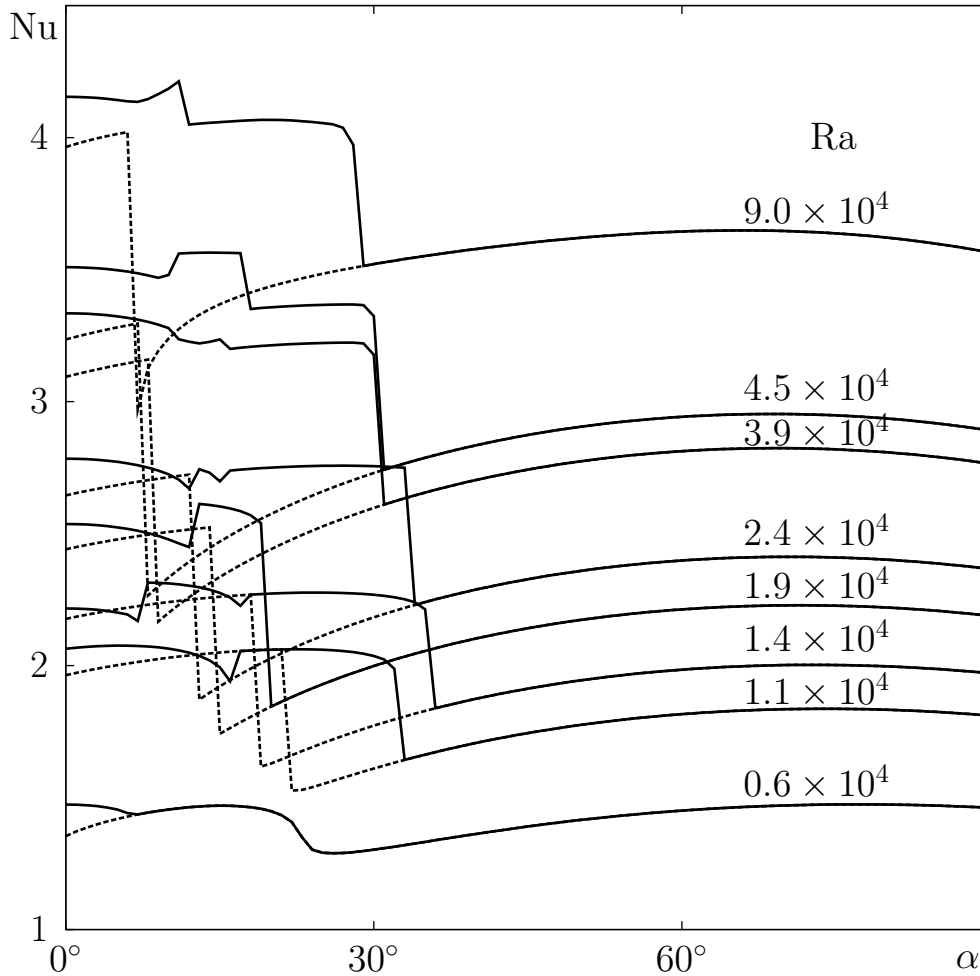


Рис. 4. Зависимость интенсивности теплообмена при увеличении (сплошные линии) и уменьшении (пунктирные линии) угла наклона при различных числах  $Ra$  при  $Pr = 0.71$

ное поведение обнаруживалось лишь при двумерном моделировании [3], не считая экспериментальной работы [23].

Для каждого значения числа  $Ra$  получена зависимость интенсивности теплообмена от угла наклона (рис. 4). Точки разрыва соответствуют бифуркациям, проявляющимся в изменении числа конвективных ячеек. График  $Nu_\alpha(Ra)$  при фиксированном значении угла  $\alpha$  также имеет разрывы, однако после постановки расчетов при ступеньчатом изменении числа  $Ra$  при заданном угле  $\alpha$  подобное поведения обнаружено не было.

По данным рис. 4 построена диаграмма режимов в плоскости  $(Ra, \alpha)$  с учетом локальных экстремумов. Анализ диаграммы показал, что возможно

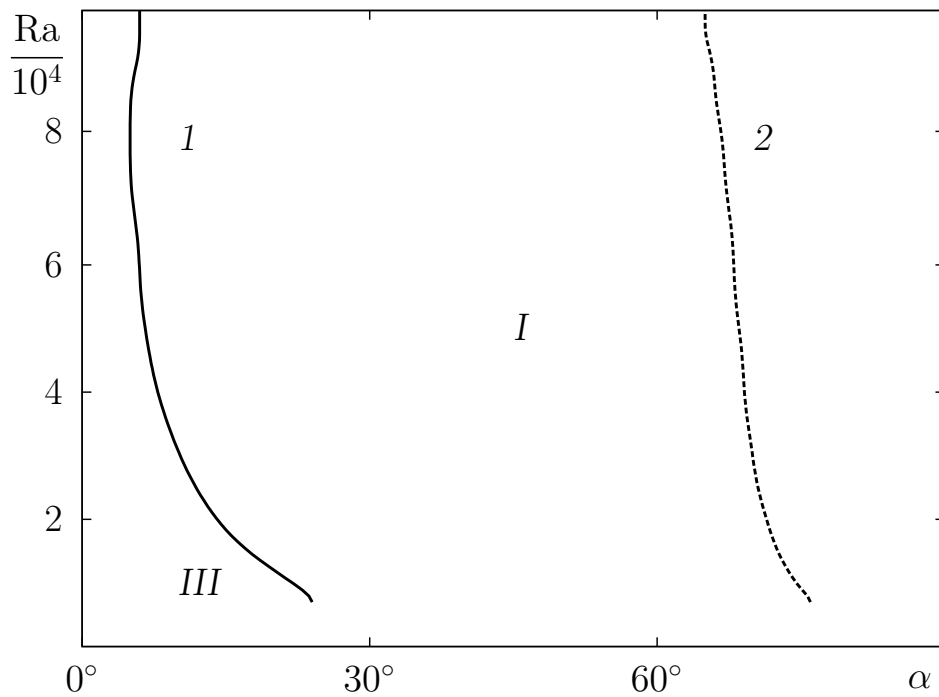
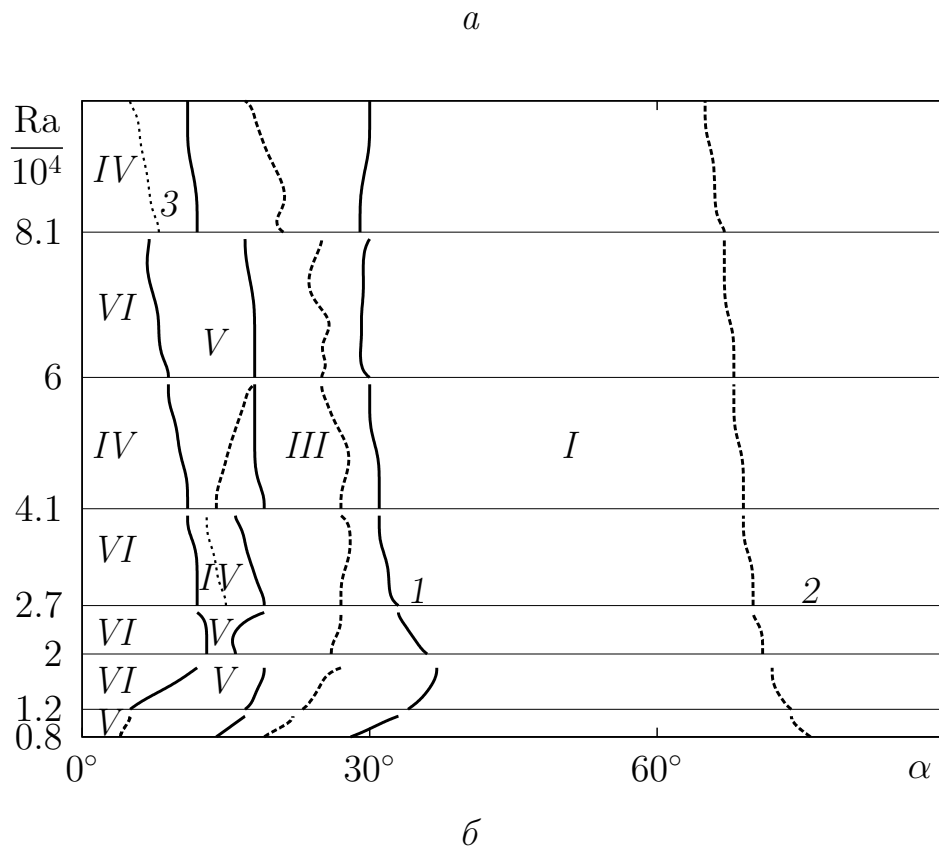


Рис. 5. Карта конвективных режимов при увеличении ( $a$ ) и при уменьшении ( $b$ ) угла наклона слоя: 1 – бифуркации, 2 – локальные максимумы, 3 – локальные минимумы; I-VI – 1-6 ячеек

два вида конвективного взаимодействия. В одном случае механизм образования бенаровских ячеек усиливается подъемно-опускным течением, а в другом случае, подъемно-опускное течение подавляет возникновение конвективных ячеек.

В **главе 4** формулируется линейная задача устойчивости конвективного движения (**параграф 4.1**) и дается описание псевдоспектрального метода решения этой задачи [31], отличающегося учетом ограничений по трем размерностям пространства вместо одной, и применением нотации, связанной с использованием дифференциальной матрицы (**параграф 4.2**).

Накладывая на стационарное решение  $\mathbf{u}_0, T_0, p_0$  уравнений (1)-(3) бесконечно малые нейтральные возмущения  $\mathbf{u}, T, p$ , получаем после подстановки  $\mathbf{u}_0 + \mathbf{u}, T_0 + T, p_0 + p$  в (1)-(3) линейные уравнения возмущенного движения в скалярной форме

$$\left( \mathbf{u}_0 \nabla - \nabla^2 + \frac{\partial u_0}{\partial x_1} \right) u + \frac{\partial u_0}{\partial x_2} v + \frac{\partial u_0}{\partial x_3} w + \frac{\partial p}{\partial x_1} = \text{Gr}T\gamma_1 \quad (6)$$

$$\frac{\partial v_0}{\partial x_1} u + \left( \mathbf{u}_0 \nabla - \nabla^2 + \frac{\partial v_0}{\partial x_2} \right) v + \frac{\partial v_0}{\partial x_3} w + \frac{\partial p}{\partial x_2} = \text{Gr}T\gamma_2 \quad (7)$$

$$\frac{\partial w_0}{\partial x_1} u + \frac{\partial w_0}{\partial x_2} v + \left( \mathbf{u}_0 \nabla - \nabla^2 + \frac{\partial w_0}{\partial x_3} \right) w + \frac{\partial p}{\partial x_3} = \text{Gr}T\gamma_3 \quad (8)$$

$$\text{Pr} \left( \frac{\partial T_0}{\partial x_1} u + \frac{\partial T_0}{\partial x_2} v + \frac{\partial T_0}{\partial x_3} w \right) + (\text{Pr} \mathbf{u}_0 \nabla - \nabla^2) T = 0 \quad (9)$$

$$\frac{\partial u}{\partial x_1} + \frac{\partial v}{\partial x_2} + \frac{\partial w}{\partial x_3} = 0 \quad (10)$$

Для возмущений задаются однородные граничные условия того же рода (4)-(5), что и для решения

$$\mathbf{u}|_{\partial Q} = 0 \quad (11)$$

$$T|_{z=\pm 0.5} = 0, \quad \frac{\partial T}{\partial x} \Big|_{x=\pm A_L/2} = \frac{\partial T}{\partial y} \Big|_{y=\pm A_W/2} = 0 \quad (12)$$

Основной идеей метода выступает представление пробной функции  $\mathbf{q} = (u, v, w, T, p)^T$  решения задачи (6)-(10) в виде интерполяционного многочлена

$$\mathbf{q}(\mathbf{x}) = \sum_{r=1}^{N_1 N_2 N_3} \mathbf{q}_r \tilde{L}_r(\mathbf{x}) = \sum_{i=1}^{N_1} \sum_{j=1}^{N_2} \sum_{k=1}^{N_3} \mathbf{q}_{ijk} \tilde{L}_i(x) \tilde{L}_j(y) \tilde{L}_k(z) \quad (13)$$

с узлами в нулях полинома Чебышева

$$\mathbf{x}_r = \left( -\cos \frac{(i-1)\pi}{2N_1}, -\cos \frac{(j-1)\pi}{2N_2}, -\cos \frac{(k-1)\pi}{2N_3} \right)$$

$$r = (iN_2 + j)N_3 + k, \quad i = \overline{1, N_1}, \quad j = \overline{1, N_2}, \quad k = \overline{1, N_3}$$

Базисные полиномы  $\tilde{L}_i, \tilde{L}_j, \tilde{L}_k$  являются модифицированными классическими полиномами Лагранжа  $L_i(x), L_j(y), L_k(z)$ , удовлетворяющими граничным условиям задачи

$$\begin{aligned} \tilde{L}_i(x) &= [(x - x_i)(c_i x + d_i) + 1]L_i(x) \\ \tilde{L}_j(y) &= [(y - y_j)(c_j y + d_j) + 1]L_j(y) \\ \tilde{L}_k(z) &= [(z - z_k)(c_k z + d_k) + 1]L_k(z), \end{aligned}$$

где неизвестные коэффициенты  $c_i, c_j, c_k, d_i, d_j, d_k$  определяются из линейной системы, получаемой после подстановки решения (13) в граничные условия (11)-(12).

Коэффициенты разложения  $\mathbf{q}_r$  принимают конкретный физический смысл и задают значения решения в узловых точках  $\mathbf{x}_r$ . Уравнения (6)-(10) с подставленным в них решением (13) выполняются тождественно в точках коллокации, совпадающих с нулями полинома Чебышева. Таким образом, для решения исходной задачи требуется решить алгебраическую обобщенную спектральную задачу вида  $A\mathbf{q}_r = \text{Gr}B\mathbf{q}_r$ .

Преимуществами данного подхода являются простота реализации метода по сравнению с методом Галеркина [24], применимость метода в отсутствие априорных данных о структуре возмущенного движения и существенная разреженность матриц  $A$  и  $B$  (рис. 6). Дискретная спектральная задача решалась с помощью процедуры из библиотеки LAPACK [32].

**В параграфе 4.3** проводится тестирование реализованного метода нахождения порога устойчивости течения для различных размерностей и ориентаций области. Повторены решения задачи Рэлея для трех видов граничных условий, налагаемых на скорость, получен порог устойчивости в вертикальном слое. Определены зависимости порога устойчивости течения в вертикальном и горизонтальном каналах от ширины канала, найдены критические числа Рэлея  $\text{Ra}_*$  положения равновесия в вертикальном прямоугольном

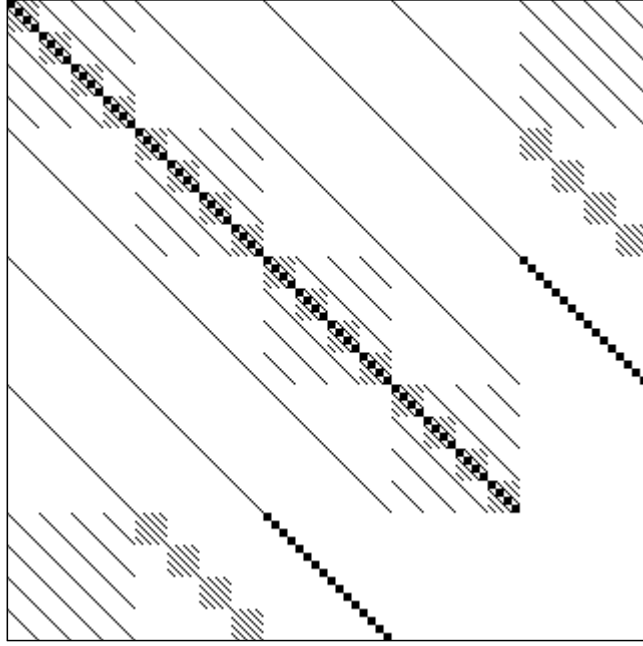


Рис. 6. Структура матрицы  $\|A - GrB\|$  при  $N_1 = N_2 = N_3 = 4$

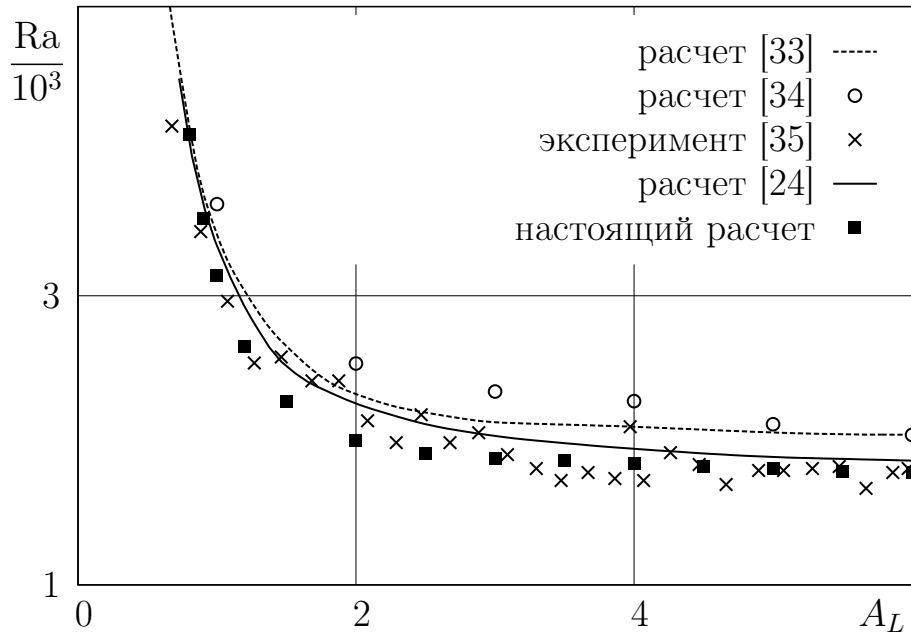


Рис. 7. Зависимость критического числа  $Ra_*$  от удлинения горизонтальной полости для  $Pr = 0.71$  при  $A_W = 2$

канале. Повторно определен порог устойчивости в замкнутой области и проведено сравнение с результатами других работ (рис. 7). Получено хорошее совпадение результатов расчета с известными аналитическими решениями, данными теоретических работ и экспериментальным материалом.

В главе 5 реализованный в четвертой главе метод анализа устойчивости применяется для поиска порога устойчивости конвективного течения в замкнутом объеме, найденного по методу, изложенному во второй главе. Также решена задача устойчивости основного течения для бесконечно длинного прямоугольного канала.

Глобальное подъемно-опускное течение в замкнутой полости зависит от числа  $Ra$ . Для нахождения порога его устойчивости необходимо решить спектральную задачу (6)-(12) для основного течения при числе  $Ra$  близком к критическому. Для этого при фиксированном угле  $\alpha$  проводился численный расчет основного течения при ступеньчатом увеличении числа  $Ra$ . Решение спектральной задачи для каждого вычисленного основного течения задавало приближение  $Ra_*$ . На рис. 8 представлен фрагмент критической кривой  $Ra_*(\alpha)$ . В области, лежащей выше кривой, основное течение теряет устойчивость, а возмущения приобретают вид поперечных конвективных валов.

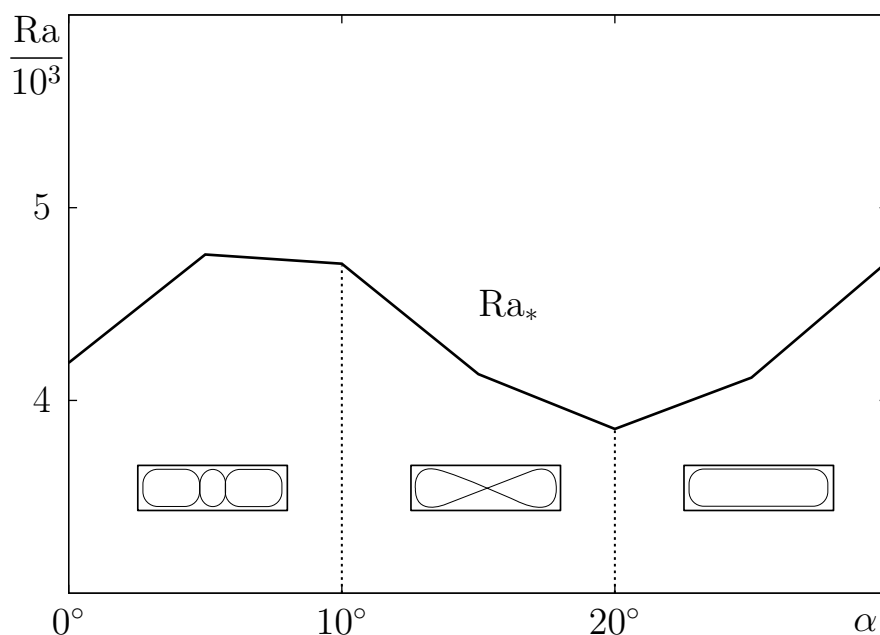


Рис. 8. Критическая кривая  $Ra_*(\alpha)$  для  $Pr = 0.71$ ,  $A_L = 4$ ,  $A_W = 0.5$

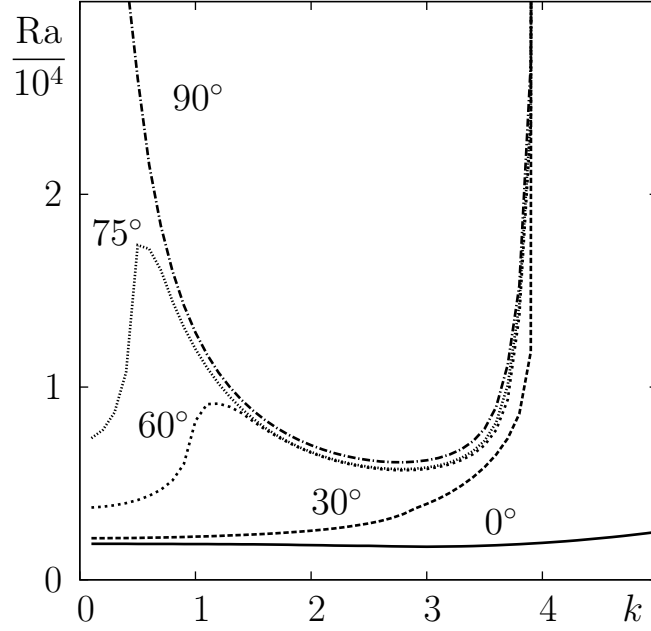


Рис. 9. Нейтральные кривые при  $Pr = 0.71, A_W = 4, A_L \rightarrow \infty$

Ниже кривой устойчивости схематично показаны конфигурации основных течений, устанавливающихся в полости до потери устойчивости.

Аналитическую формулу основного течения в прямоугольном канале можно приближенно получить из кубического профиля основного течения в бесконечном слое. Для этого необходимо ввести степенную поправку на ширину канала и нормировочный коэффициент, отличный от единицы в случае достаточно узких каналов

$$\frac{A}{6} \left( |Bz|^m \operatorname{sign} z - \frac{Bz}{4} \right) (1 - |y|^n) \sin \alpha, \quad B = 2^{\frac{m-3}{m-1}} \quad (14)$$

Порог устойчивости основного течения (14) вычислялся для различных значений  $A_W$ . По кривым устойчивости, изображенным на рис. 9, определялось направление критических возмущений. Если минимальное значение числа  $Ra$  соответствует волновому числу  $k \rightarrow 0$ , то более критичны продольные возмущения. При  $k \gg 0$  критичны поперечные возмущения с длиной волны  $2\pi/k$ . Найдено, что граница перехода между поперечным и продольными конвективными валами слабо зависит от ширины канала (рис. 10), а волновое число больше для узких каналов при малых углах наклона (рис. 11).

В **заключении** приведены основные результаты и выводы по работе.

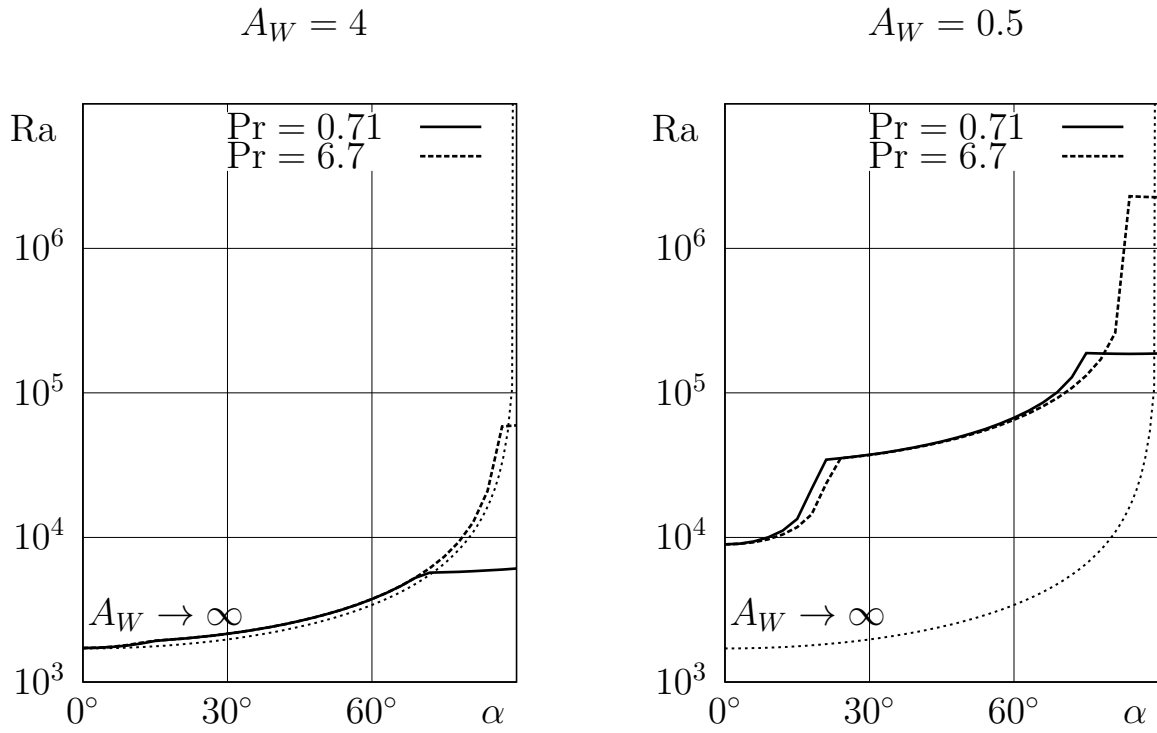


Рис. 10. Критические кривые при  $A_L \rightarrow \infty$

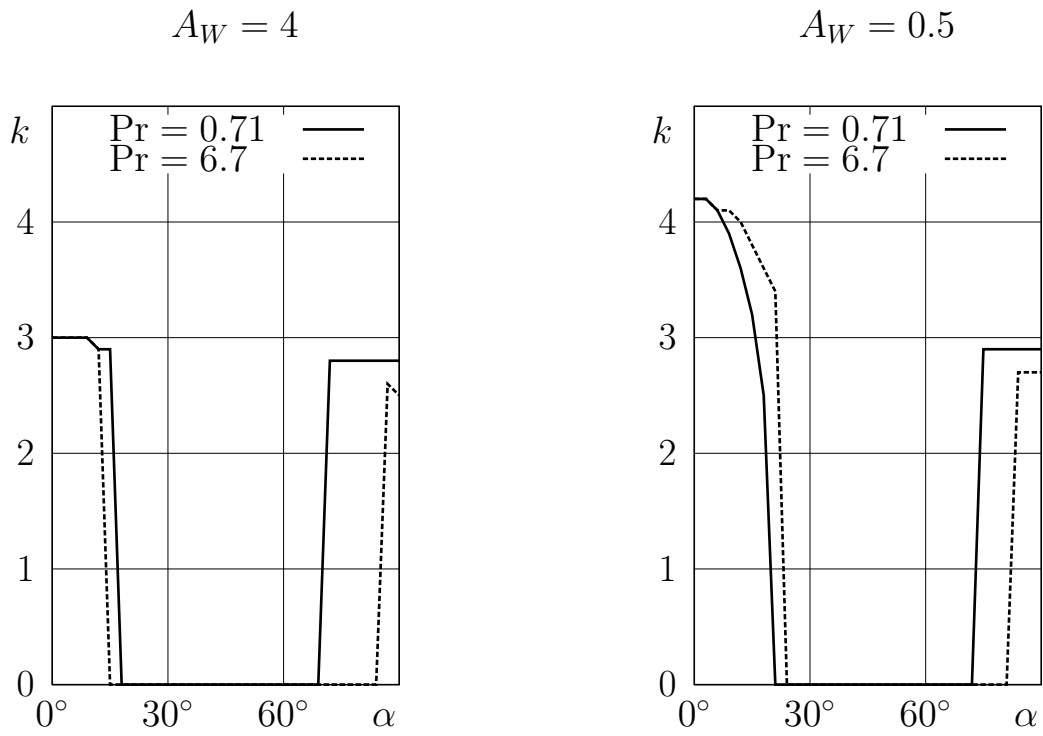


Рис. 11. Критические волновые числа при  $A_L \rightarrow \infty$

### 3. Основные результаты и выводы

- 1) Реализован и протестирован численный метод решения трехмерных уравнений конвекции, записанных в приближении Буссинеска, для моделирования ламинарных, переходных и турбулентных режимов естественной конвекции в замкнутых прямоугольных объемах при произвольной ориентации вектора массовых сил.
- 2) Численно решена задача о тепловой гравитационной конвекции в трехмерной прямоугольной области при различной ориентации силы тяжести и обнаружен гистерезис в структуре течения и теплопереносе в зависимости от направления изменения вектора силы тяжести.
- 3) На основе полученных структур течения построена карта конвективных режимов по числу конвективных ячеек.
- 4) Получены зависимости числа  $Nu$  от угла наклона при различных начальных условиях и дана их интерпретация.
- 5) Реализован псевдоспектральный метод решения спектральной задачи для системы линейных уравнений в частных производных. Метод протестирован на примере решения задачи для амплитудных уравнений возмущенного конвективного движения. В зависимости от характера замкнутости объема использовались возмущения с периодичностью в разных направлениях. Получены хорошие совпадения как с точными решениями, так и с численно-аналитическими результатами других работ и экспериментальными данными. Произведено сравнение результатов расчета критического числа Рэлея по методу малых возмущений и прямым моделированием.
- 6) Решена задача линейной устойчивости конвективного движения в замкнутой области при характерных соотношениях  $A_H = 4$ ,  $A_W = 0.5$  для различных углов наклона полости относительно силы тяжести.
- 7) Предложена формула для аппроксимации решения уравнений естественной конвекции в режиме теплопроводности в наклонном канале.

- 8) Исследована устойчивость течения в наклонном канале при различных ориентациях для разных величин ширины канала. Обнаружена слабая зависимость критического угла смены направления более опасных конвективных возмущений.

Выражаю **благодарность** заведующему лаборатории механики сложных жидкостей ИПМех РАН и ее сотрудникам, принявшим участие в моей работе и оказавшим всяческое содействие. Я особенно признателен Николаю Васильевичу Никитину и Олегу Аркадьевичу Бессонову за ценные замечания и рекомендации в реализации численных методов, а также своему учителю и руководителю Вадиму Ивановичу Полежаеву, заинтересовавшему меня тематикой настоящей работы.

## Работы автора по теме диссертации

1. *Пивоваров Д.Е.* Трехмерные конвективные взаимодействия в наклонном продольном слое воздуха // МЖГ. 2013. № 3. С. 43–52.
2. *Пивоваров Д.Е.* Численное исследование конвективного теплообмена в наклонном продольном слое воздуха // Электронный журнал «Труды МАИ». 2013. № 68.
3. *Пивоваров Д.Е., Полежаев В.И.* Структуры течения и особенности теплообмена при свободной конвекции в наклонных слоях // Труды XVII Школы-семинара молодых ученых и специалистов под руководством академика РАН А.И. Леонтьева «Проблемы газодинамики и теплообмена в аэрокосмических технологиях». М.: Издательский дом МЭИ, 2009. С. 113–116.
4. *Пивоваров Д.Е., Полежаев В.И., Пунтус А.А.* Применение функций Бесселя для решения уравнения Пуассона в цилиндре с кусочно-непрерывными граничными условиями на торцах // Проектно-

конструкторские и производственные вопросы создания перспективной авиационной техники. М.: МАИ-ПРИНТ, 2009. С. 233–240.

5. *Пивоваров Д.Е., Полежаев В.И., Пунтус А.А.* Организация расчетов в задачах гидродинамики и последующая обработка результатов // 2-ая Всероссийская конференция ученых, молодых специалистов и студентов «Информационные технологии в авиационной и космической технике – 2009»: Тезисы докладов. М.: МАИ-ПРИНТ, 2009. С. 87.
6. *Пивоваров Д.Е., Полежаев В.И., Пунтус А.А.* Применение функций Бесселя для решения уравнения Пуассона в цилиндре с заданными кусочно-непрерывными граничными условиями // 8-ая международная конференция «Авиация и космонавтика – 2009»: Тезисы докладов. М.: МАИ-ПРИНТ, 2009. С. 81–82.
7. *Пивоваров Д.Е.* Реализация алгоритма численного решения уравнений Навье-Стокса для задач конвективного теплообмена // 9-ая Международная конференция «Авиация и космонавтика – 2010»: Тезисы докладов. СПб.: Мастерская печати, 2010. С. 324–325.
8. *Пивоваров Д.Е.* Численное решение системы трехмерных уравнений Навье-Стокса в приближении Буссинеска для задач конвективного теплообмена // II Международная научно-практическая конференция «Научно-техническое творчество молодежи – путь к обществу, основанному на знаниях»: Сборник научных докладов. М.: МГСУ, 2010. С. 436–437.
9. *Пивоваров Д.Е.* Моделирование трехмерных внутренних конвективных течений // Проблемы газодинамики и теплообмена в новых энергетических технологиях: Тезисы докладов XVIII Школы-семинара молодых ученых и специалистов под руководством акад. РАН А.И. Леонтьева. М.: Издательский дом МЭИ, 2011. С. 79–80.
10. *Емелькин А.И., Лебедев М.А., Никитин С.А., Пивоваров Д.Е., Полежаев В.И.* Сетевая компьютерная лаборатория в задачах конвективного

теплообмена: разработка и первые применения // Проблемы газодинамики и теплообмена в новых энергетических технологиях: Тезисы докладов XVIII Школы-семинара молодых ученых и специалистов под руководством акад. РАН А.И. Леонтьева. М.: Издательский дом МЭИ, 2011. С. 347–348.

11. *Пивоваров Д.Е.* Численное исследование гистерезиса и бифуркаций конвективных течений в наклонных прямоугольных слоях разного удлинения при различных параметрах Рэлея и Прандтля // Материалы международной конференции «Нелинейные задачи теории гидродинамической устойчивости и турбулентность». М.: НИИ механики МГУ, 2012. С. 176–177.
12. *Пивоваров Д.Е.* Численное исследование конвективного теплообмена в наклонном продольном слое воздуха // IV Всероссийский межотраслевой молодежный научно-технический форум «Молодёжь и будущее авиации и космонавтики»: Аннотация работ. М.: МАИ, 2012. С. 156–157.
13. *Лебедев М.А., Никитин С.А., Пивоваров Д.Е., Полежаев В.И.* Сетевая компьютерная лаборатория в задачах конвективного теплообмена. Разработка и первые применения. Препринт № 992. М.: ИПМех, 2011. 39 с.

## Список используемой литературы

14. *Daniels K.E., Plapp B.B., Bodenschatz E.* Pattern Formation in Inclined Layer Convection // *Phys. Rev. Lett.* 2000. V. 84. № 23. P. 5320–5323.
15. *Polezhaev V.I., Myakshina M.N., Nikitin S.A.* Heat transfer due to buoyancy-driven convective interaction in enclosures: Fundamentals and applications // *Int. J. Heat Mass Transfer.* 2012. V. 55. № 1–3. P. 156–165.
16. *Bodenschatz E., Pesch W., Ahlers G.* Recent developments in Rayleigh-Benard convection // *Annu. Rev. Fluid Mech.* 2000. V. 32. P. 709–778.

17. *Гершуни Г.З., Жуховицкий Е.М.* Об устойчивости плоскопараллельного конвективного движения относительно пространственных возмущений // ПММ. 1969. Т. 33. № 5. С. 855–860.
18. *Hart J.E.* Stability of the flow in a differentially heated inclined box // J. Fluid Mech. 1971. V. 47. № 3. P. 547–582.
19. *Clever R.M., Busse F.H.* Instabilities of longitudinal convection rolls in an inclined layer // J. Fluid Mech. 1977. V. 81. № 1. P. 107–127.
20. *Ruth D.W., Raithby G.D., Hollands K.G.T.* On the secondary instability in inclined air layers // J. Fluid Mech. 1980. V. 96. № 3. P. 481–492.
21. *Buchberg H., Catton I., Edwards D.K.* Natural Convection in Enclosed Spaces—A Review of Application to Solar Energy Collection // J. Heat Transfer. 1976. V. 98. № 2. P. 182–188.
22. *Yang H.Q., Yang K.T., Lloyd J.R.* Laminar natural-convection flow transitions in tilted three-dimensional longitudinal rectangular enclosures // Int. J. Heat Mass Transfer. 1987. V. 30. № 8. P. 1637–1644.
23. *Symons J.G., Peck M.K.* Natural Convection Heat Transfer Through Inclined Longitudinal Slots // J. Heat Transfer. 1984. V. 106. № 4. P. 824–829.
24. *Kirchartz K.R., Oertel J.H.* Three-dimensional thermal cellular convection in rectangular boxes // J. Fluid Mech. 1988. V. 192. P. 249–286.
25. *Ермаков М.К., Никитин С.А., Полежаев В.И.* Система и компьютерная лаборатория для моделирования конвективного тепло- и массообмена // МЖГ. 1997. № 3. P. 22–38.
26. *Nikitin N.* Finite-difference method for incompressible Navier-Stokes equations in arbitrary orthogonal curvilinear coordinates // J. Comput. Phys. 2006. V. 217. № 2. P. 759–781.
27. *Frigo M., Johnson S.G.* The Design and Implementation of FFTW3 // Proc. of the IEEE. 2005. V. 93. № 2. P. 216–231.

28. *Nikitin N.* Third-order-accurate semi-implicit Runge-Kutta scheme for incompressible Navier-Stokes equations // *Int. J. Num. Methods in Fluids*. 2006. V. 51. № 2. P. 221–233.
29. *Дайковский А.Г., Полежаев В.И., Федосеев А.И.* Численное моделирование переходного и турбулентного режимов конвекции на основе нестационарных уравнений Навье-Стокса. Препринт № 101. М.: ИПМех, 1978. 65 с.
30. *Бессонов О.А.* Эффективный метод расчета течений несжимаемой жидкости в областях регулярной геометрии. Препринт № 1021. М.: ИПМех, 2012. 59 с.
31. *Павловский Д.С.* Решение задачи конвективной устойчивости многокомпонентных жидкостей. Препринт № 416. М.: ИПМех, 1989. 37 с.
32. *Anderson E., Bai Z., Bischof C., Blackford S., Demmel J., Dongarra J., Du Croz J., Greenbaum A., Hammarling S., McKenney A., Sorensen D.* LAPACK Users' Guide. Philadelphia, PA: Society for Industrial and Applied Mathematics, 1999.
33. *Davis S.H.* Convection in a box: linear theory // *J. Fluid Mech.* 1967. V. 30. P. 465–478.
34. *Catton I.* Convection in a Closed Rectangular Region: The Onset of Motion // *J. Heat Transfer*. 1970. V. 92. № 1. P. 186–188.
35. *Stork K., Möller U.* Convection in boxes: experiments // *J. Fluid Mech.* 1972. V. 54. P. 599–611.

Пивоваров Дмитрий Евгеньевич

ПОРОГ УСТОЙЧИВОСТИ И ТРЕХМЕРНЫЕ СТРУКТУРЫ  
КОНВЕКЦИИ В ЗАМКНУТЫХ НАКЛОННЫХ ПРЯМОУГОЛЬНЫХ  
ОБЪЕМАХ

Автореферат диссертации на соискание ученой степени  
кандидата физико-математических наук

Подписано к печати 20 сентября 2013 г. Заказ 29-2013. Тираж 80 экз.

---

Отпечатано на ризографе  
Федерального государственного бюджетного учреждения науки  
Института проблем механики им. А.Ю. Ишлинского  
Российской академии наук  
119526, Москва, пр-т Вернадского 101, к.1